



УДК 517.9

## ОБ АСИМПТОТИЧЕСКОМ ПОВЕДЕНИИ РЕШЕНИЙ НЕЛИНЕЙНЫХ ДИФФЕРЕНЦИАЛЬНЫХ УРАВНЕНИЙ С КОМПЛЕКСНЫМИ КОЭФФИЦИЕНТАМИ

И.В. Асташова <sup>4)</sup>

Московский государственный университет им. М.В.Ломоносова,  
Ленинские горы, ГСП-1, Москва, 119991, Россия, e-mail: [ast@diffiety.ac.ru](mailto:ast@diffiety.ac.ru)

**Аннотация.** Для нелинейных дифференциальных уравнений типа Эмдена-Фаулера с комплексными коэффициентами получены асимптотические формулы для модуля и аргумента решений и равномерные оценки решений.

**Ключевые слова:** асимптотические формулы, равномерные оценки решений, комплексные коэффициенты.

**1. Введение.** Рассматривается дифференциальное уравнение

$$y''(x) = p(x)|y(x)|^m y(x), \tag{1}$$

где  $m > 0$ ,  $x \in \mathbb{R}$ , а  $p(x)$  – непрерывная комплекснозначная функция. Если  $p(x)$  – действительнoзначная функция, то это уравнение превращается в хорошо известное уравнение типа Эмдена-Фаулера, асимптотические свойства которого детально исследовались в работах Ф.Аткинсона, Р.Беллмана, И.Кигурадзе, А.Кнезера, В.Кондратьева, А.Мышкиса, Дж.Сансоне и других авторов. Подробную библиографию см. в [1]. С другой стороны, (1) – это одномерное уравнение Шредингера. Качественные свойства решений различных задач, связанных с этим уравнением в  $n$ -мерном случае ( $n \geq 2$ ), были описаны М.Ф.Бидо-Верон, Х.Брезисом, Л.Вероном, Б.Гершем, С.Дои, Т.Като, В.Кондратьевым, П.Константином, Н.Хаяси, М.Шубиным и другими авторами, см. [2, 3, 4, 5, 6, 7, 8, 9, 10].

В настоящей работе получены асимптотические формулы для модуля и аргумента решений и равномерные оценки решений.

**2. Основные результаты.** При  $p(x) = p_0 \in \mathbb{C} \setminus \mathbb{R}$  существует решение  $Y(x)$ , определенное на  $(0, +\infty)$ , которое имеет вид

$$|Y(x)| = C_1 x^{-2/m}, \quad \arg Y(x) = C_2 \ln x$$

---

<sup>4</sup>Работа выполнена при поддержке РФФИ (грант № 11-01-00989).



с постоянными

$$C_1 = m \sqrt{Q \left( \frac{1 + 4/m}{\operatorname{Im} p_0} \right)^2},$$

$$C_2 = -Q \frac{1 + 4/m}{\operatorname{Im} p_0},$$

$$Q = \frac{-\operatorname{Re} p_0 + \sqrt{(\operatorname{Re} p_0)^2 + \frac{8(m+2)}{(m+4)^2} (\operatorname{Im} p_0)^2}}{2}.$$

**Теорема 1.** Пусть  $m > 0$  и  $p(x) \equiv p_0 = \operatorname{const} \in \mathbb{C} \setminus \mathbb{R}$ . Тогда все нетривиальные решения уравнения (1) исчерпывающе описываются следующим образом:

1. Все непродолжаемые решения, определенные на полуоси  $(-\infty, x_0)$  или  $(x_0, +\infty)$ , которые имеют точный вид:

$$|y(x)| = |Y(|x - x_0|)|,$$

$$\arg y(x) = \arg Y(|x - x_0|) + \varphi_0$$

с произвольными вещественными  $x_0$  и  $\varphi_0$ .

2. Для любого непродолжаемого решения, определенного на ограниченном интервале  $(x_1, x_2)$ , справедливо представление

$$|y(x)| = |Y(|x - x_k|)| (1 + o(1)),$$

$$\arg y(x) = \arg Y(|x - x_k|) (1 + o(1)),$$

где  $x \rightarrow x_k, k = 1, 2$ .

**Теорема 2.** Пусть  $p(x)$  – непрерывная комплекснозначная функция,  $m > 0$  и  $p(x_0) = p_0 \in \mathbb{C} \setminus \mathbb{R}$ . Пусть  $y(x)$  – непродолжаемое решение уравнения (1), определенное на  $(x_1, x_0)$  или  $(x_0, x_2)$  при  $-\infty \leq x_1 < x_0 < x_2 \leq +\infty$ . Тогда

$$|y(x)| = |Y(|x - x_0|)| (1 + o(1)),$$

$$\arg y(x) = \arg Y(|x - x_0|) (1 + o(1)),$$

при  $x \rightarrow x_0$ .

**Теорема 3.** Пусть  $p(x)$  – непрерывная комплекснозначная функция,  $\varepsilon = \pm 1, m > 0, p(x) \rightarrow p_0 \in \mathbb{C} \setminus \mathbb{R}$  при  $x \rightarrow \varepsilon \infty$ . Пусть, далее,  $y(x)$  – решение уравнения (1), определенное в окрестности  $\varepsilon \infty$ . Тогда

$$|y(x)| = |Y(|x|)| (1 + o(1)),$$

$$\arg y(x) = \arg Y(|x|) (1 + o(1)),$$



при  $x \rightarrow \infty$ .

**Теорема 4.** Пусть  $\operatorname{Re} p(x) > p_* > 0$ . Тогда для любого решения  $y(x)$  уравнения (1), определенного на  $(x_0 - \varepsilon, x_0 + \varepsilon)$  и такого, что  $y(x_0) \neq 0$ , справедлива оценка

$$\varepsilon^2 < \frac{C}{p_*} |y(x_0)|^{-m}$$

с постоянной  $C > 0$ , зависящей только от  $m$ .

**Следствие.** Пусть для функции  $p(x)$  выполняются условия теоремы 4. Тогда для любого решения  $y(x)$  уравнения (1), определенного на  $[a, b]$ , выполнено

$$|y(x)| < m \sqrt{\frac{C}{\varepsilon^2 p_*}}$$

для всех  $x \in [a + \varepsilon, b - \varepsilon]$ .

**Следствие.** Пусть для функции  $p(x)$  выполняются условия теоремы 4. Тогда для любого решения  $y(x)$  уравнения (1), определенного на  $(-\infty, x_0)$  или  $(x_0, +\infty)$ , на всей области определения выполняется неравенство

$$|y(x)| < |x - x_0|^{-2/m} \sqrt[m]{C/p_*} .$$

**Следствие.** Если  $\operatorname{Re} p(x) > q_* x^{-r}$ ,  $q_* > 0$ ,  $r > 0$ , то для любого решения  $y(x)$  уравнения (1), определенного на  $(0, +\infty)$ , для всех  $x > 0$  выполнено

$$|y(x)| < x^{(r-2)/m} \sqrt[m]{C/q_*} .$$

Во всех случаях  $C$  зависит только от  $m$  и совпадает с соответствующей постоянной из теоремы 4.

**Следствие.** Если функция  $p(x)$  удовлетворяет условиям теоремы 4, то единственным решением уравнения (1), определенным на  $(-\infty, +\infty)$ , является тривиальное решение  $y(x) \equiv 0$ .

**3. Доказательство основных результатов.** Всюду ниже для уменьшения количества дробей в формулах вместо  $m/4$  используется  $\mu$ .

**3.1. Фазовое пространство.** Заметим, что если функция  $p(x)$  является постоянной и  $y(x)$  является решением (1), то и функция  $z(x) = A y(|A|^{2\mu}(x - x_0))$  при произвольных константах  $A \in \mathbb{C}$  и  $x_0 \in \mathbb{R}$  также является решением этого уравнения. Это позволяет понизить размерность задачи, отождествляя решения, связанные приведенным соотношением.

Пара функций  $(y(x), y'(x))$  порождает кривую в  $\mathbb{C}^2$ . Кривые, порожденные нетривиальными решениями, лежат в  $\mathbb{C}^2 \setminus \{0\}$ . Решения  $y(x)$  и  $y(x - x_0)$  порождают одну и ту же кривую (с точностью до параметризации).



Рассмотрим отношение эквивалентности в  $\mathbb{C}^2 \setminus \{0\}$ , при котором решения  $y_1(x)$  и  $y_2(x) = Ay_1(|A|^{2\mu}x)$  порождают одну и ту же кривую в факторпространстве. Это отношение может быть задано формулой

$$(z_0, z_1) \sim (Az_0, A|A|^{2\mu}z_1)$$

для произвольного комплексного  $A \neq 0$ .

Обозначим через  $\Phi$  факторпространство  $\mathbb{C}^2 \setminus \{0\}$  по этому отношению эквивалентности. Его можно снабдить структурой действительного двумерного многообразия класса  $C^1$  с помощью атласа, состоящего из двух карт. Обе карты являются биекциями подмножеств  $\Phi$  на  $\mathbb{C}$ .

Первая карта определена на классах эквивалентности комплексных пар  $(z_0, z_1)$ , для которых  $z_0 \neq 0$ , то есть на всем  $\Phi$ , кроме точки-классе эквивалентности пары  $(0, 1)$ . Биекция определяется комплекснозначной функцией

$$u : [(z_0, z_1)] \mapsto \frac{z_1}{z_0|z_0|^{2\mu}}.$$

Вторая карта определена для классов пар  $(z_0, z_1)$ ,  $z_1 \neq 0$ , следующим образом:

$$U : [(z_0, z_1)] \mapsto \frac{z_0|z_1|^{2\mu/(2\mu+1)}}{z_1}.$$

Непосредственно проверяется, что эти функции корректно определены и являются биекциями. Замены координат задаются соотношениями

$$u = \frac{1}{U|U|^{2\mu}}, \quad U = \frac{|u|^{2\mu/(2\mu+1)}}{u}$$

и принадлежат классу  $C^1$  как отображения  $\mathbb{R}^2 \setminus \{0\} \rightarrow \mathbb{R}^2 \setminus \{0\}$ .

Полученное многообразие гомеоморфно двумерной сфере и поэтому компактно. Его даже можно вложить в  $\mathbb{R}^3$  так, чтобы  $u$  и  $U$  стали стереографическими проекциями (см. рис. 1).

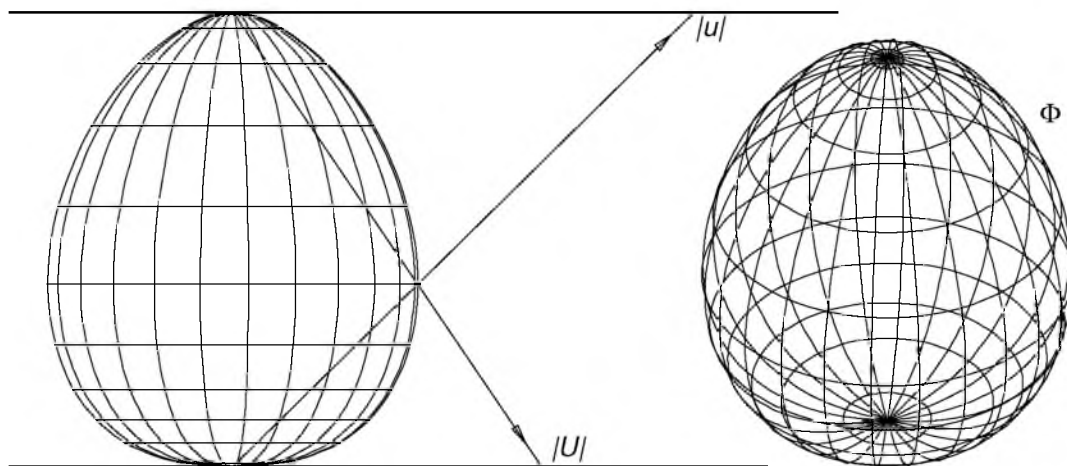


Рис. 1.



3.2. Динамическая система на фазовом пространстве для постоянной  $p(x)$ . Опишем в координатах кривые, порождаемые на  $\Phi$  решениями (1) с постоянной  $p(x) \equiv p_0$ .

На первой карте имеем

$$u = \frac{y'}{y|y|^{2\mu}},$$

откуда непосредственными вычислениями получаем

$$u' = |y|^{2\mu} (p_0 - (\mu + 1)u^2 - \mu|u|^2).$$

Следовательно, выбирая в качестве параметра переменную  $t$ , для которой  $dt = |y|^{2\mu} dx$ , получим внутреннее описание кривой:

$$\dot{u} = \frac{du}{dt} = p_0 - (\mu + 1)u^2 - \mu|u|^2.$$

Аналогично, на второй карте кривые, порождаемые решениями (1), описываются уравнением

$$\frac{dU}{d\tau} = 1 + \frac{|U|^{4\mu}}{2\mu + 1} \left( \mu \bar{p}_0 |U|^2 - (\mu + 1) p_0 U^2 \right)$$

с другим параметром  $\tau$ , для которого  $d\tau = |y'|^{2\mu/(2\mu+1)} dx$ .

Правые части обоих уравнений принадлежат классу  $C^1$  в действительном смысле. Из двух параметров с помощью разбиения единицы можно сделать один так, чтобы все кривые, порожденные на  $\Phi$  решениями (1), были траекториями автономной динамической системы с новым параметром в качестве независимой переменной. Ввиду компактности  $\Phi$ , любая траектория системы продолжена на всю ось  $(-\infty, +\infty)$ , причем именно такие полные траектории, а не их части порождаются непродолжаемыми решениями (1).

У системы есть ровно две неподвижные точки (при условии, что  $p_0 \neq 0$ ). Они обе находятся в первой карте и отличаются только знаком. Уравнение  $\dot{u} = 0$ , записанное в терминах  $v = \text{Re } u_0$  и  $w = \text{Im } u_0$ :

$$\begin{cases} (2\mu + 1)v_0^2 - w_0^2 = \text{Re } p_0, \\ 2(\mu + 1)v_0 w_0 = \text{Im } p_0, \end{cases}$$

можно легко решить, получив два решения:  $u_0 = v_0 + w_0 i$ , где

$$v_0 = \sqrt{\frac{\text{Re } p_0 + \sqrt{(\text{Re } p_0)^2 + \frac{2\mu + 1}{(\mu + 1)^2} (\text{Im } p_0)^2}}{4\mu + 2}}, \tag{2}$$

$$w_0 = \frac{\text{Im } p_0}{2(\mu + 1) v_0}.$$

и второе решение  $-u_0 = -v_0 - w_0 i$ .



Иногда удобнее записывать систему в терминах неподвижной точки  $u_0$ , а не  $p_0$ :

$$\dot{u} = (\mu + 1)(u_0^2 - u^2) + \mu(|u_0|^2 - |u|^2). \quad (3)$$

**3.3. Случай  $u_0 = \pm i$ . Замкнутые траектории.** Хотя случай  $u_0 = \pm i$  соответствует действительному значению  $p_0$ , его исследование помогает понять поведение траекторий и для комплексных  $p_0$ .

В этом случае система записывается следующим образом:

$$\dot{u} = -1 - (\mu + 1)u^2 - \mu|u|^2. \quad (4)$$

Среди ее решений легко находится одно действительное, меняющееся от  $+\infty$  до  $-\infty$ . На самом деле, это только часть замкнутой траектории на  $\Phi$ , проходящей через единственную не покрытую первой картой точку. Так как другие траектории не могут проходить через эту же точку, они все полностью лежат в первой карте. Точнее, в полуплоскости  $\text{Im } u > 0$  или  $\text{Im } u < 0$ . Ввиду инвариантности системы относительно комплексного сопряжения достаточно рассмотреть только первый случай. Для любой такой траектории, не являющейся неподвижной точкой, исследуем поведение  $\arg(u - i)$ , используя обозначения  $v = \text{Re } u$ ,  $w = \text{Im } u$ :

$$\begin{aligned} \frac{d}{dt} \arg(u - i) &= \text{Im} \frac{\dot{u}}{u - i} = \\ &= \text{Im} \frac{(-1 - (\mu + 1)u^2 - \mu|u|^2)(\bar{u} + i)}{|u - i|^2} = \\ &= -\frac{-w + |u|^2 w + 1 + (\mu + 1) \text{Re}(u^2) + \mu|u|^2}{|u - i|^2} = \\ &= \frac{-w(w^2 - 1) - v^2(w + 1) - 2\mu v^2 + w^2 - 1}{v^2 + (w - 1)^2} = \\ &= \frac{-(w^2 - 1)(w - 1) - v^2(w + 1) - 2\mu v^2}{v^2 + (w - 1)^2} = \\ &= -w - 1 - 2\mu \left( \frac{v}{|u - i|} \right)^2 < -1. \end{aligned}$$

Отсюда следует, что траектория обходит точку  $i$  по часовой стрелке, регулярно меняя знак  $\text{Re } u$ .

Из (4) также вытекает, что все траектории симметричны относительно мнимой оси. Значит, все они, кроме действительной оси и двух неподвижных точек, представляют собой овалы, окружающие одну из неподвижных точек, причем обход  $i$  происходит по, а  $-i$  — против часовой стрелки.

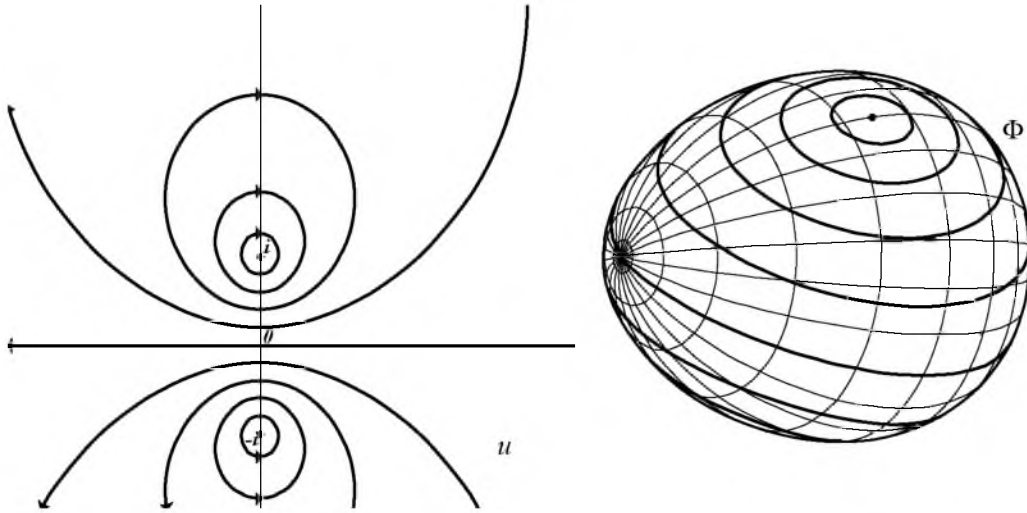


Рис. 2.

Глобально  $\Phi$ , покрытое траекториями, выглядит, как глобус с двумя полюсами и множеством параллелей (см. рис. 2).

3.4. **Случай комплексных  $p_0$ .** Перейдем к случаю  $p_0$  с ненулевой мнимой частью, при этом  $u_0$  будет иметь и ненулевую действительную часть. Для использования предыдущего результата повернем и сожмем/растянем картину траекторий так, чтобы неподвижная точка, для которой  $\text{Re } u_0 > 0$ , попала в  $i$ . Это преобразование записывается в первой карте в виде  $u \mapsto iu/u_0$  и легко продолжается до глобального диффеоморфизма пространства  $\Phi$ .

Непосредственные вычисления приводят к уравнению для такой модифицированной системы:

$$\dot{u} = i \left( (\mu + 1) (1 + u^2) u_0 + \mu (1 - |u|^2) \bar{u}_0 \right). \tag{5}$$

То, как ее траектории проходят через описанные выше овалы, можно выяснить, оценив знак мнимой части произведения  $\dot{u}$  из (2) на  $\bar{u}$  из (5).



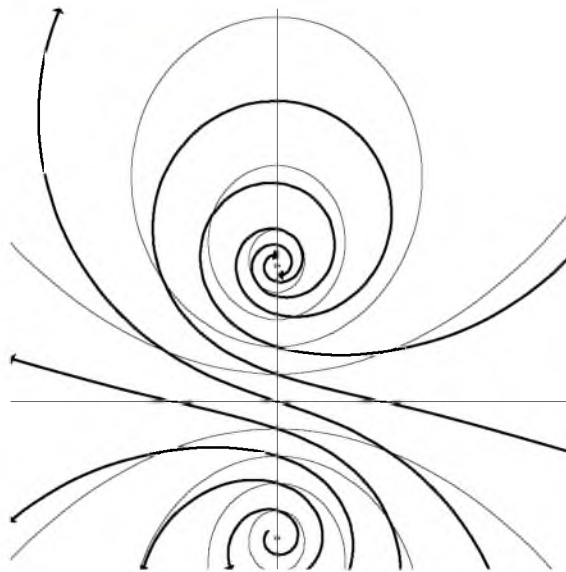


Рис. 3.

Это произведение равно

$$i \left( (\mu + 1)^2 |1 + u^2|^2 \bar{u}_0 - \mu^2 (1 - |u|^2)^2 u_0 + \right. \\ \left. + (\mu^2 + \mu) (1 - |u|^2) \left( (1 + u^2) u_0 - (1 + \bar{u}^2) \bar{u}_0 \right) \right).$$

Его мнимая часть выглядит менее громоздко

$$\left( (\mu + 1)^2 |1 + u^2|^2 - \mu^2 (1 - |u|^2)^2 \right) \operatorname{Re} u_0.$$

Согласно неравенству треугольника для векторов  $-1$  и  $u^2$ , последнее выражение строго положительно для всех  $u \in \mathbb{C}$ , кроме  $\pm i$ . Это значит, что вне неподвижных точек все траектории системы (5) последовательно покидают все овалы, лежащие в полуплоскости  $\operatorname{Im} u < 0$ , пересекают действительную ось, после чего последовательно проникают в овалы из полуплоскости  $\operatorname{Im} u > 0$  (см. рис. 3). Эти траектории не могут иметь предельную точку, отличную от  $-i$  при  $t \rightarrow -\infty$  и отличную от  $i$  при  $t \rightarrow +\infty$ . Поэтому, ввиду компактности многообразия  $\Phi$ , для всех нетривиальных траекторий эти точки являются пределами.

Таким образом, траектории системы (3) – это две неподвижные точки и траектории, стремящиеся от одной из них к другой.

Зная неподвижные точки системы, можно явно выписать семейство решений уравнения (1). Используя полярную форму для  $y = \rho e^{i\varphi}$ , можно записать уравнение  $u = u_0$  в виде

$$\frac{y'}{y|y|^{2\mu}} = \frac{(\rho' + i\rho\varphi')}{\rho^{2\mu+1}} = \operatorname{Re} u_0 + i \operatorname{Im} u_0.$$





Решая его отдельно для действительной и мнимой частей, получим

$$\rho^{-2\mu} = -2\mu \operatorname{Re} u_0 (x - x_0),$$

а затем

$$\varphi = -\frac{\operatorname{Im} u_0}{2\mu \operatorname{Re} u_0} \ln |x - x_0| + \varphi_0.$$

Из неотрицательности  $\rho$  следует, что это решение определено на  $(-\infty, x_0)$ . Аналогичные формулы для  $-u_0$  описывают решение, заданное на  $(x_0, +\infty)$ .

Для остальных траекторий имеют место соотношения  $u \sim u_0$  при  $t \rightarrow +\infty$  и  $u \sim -u_0$  при  $t \rightarrow -\infty$ , приводящие к асимптотическим формулам для соответствующих решений уравнения (1), определенным на конечных интервалах  $(x_1, x_2)$ .

Учитывая (2) и возвращаясь в обозначениях к  $m = 4\mu$ , получим следующее описание решений.

В рассматриваемом случае  $p(x) \equiv p_0 = \operatorname{const} \in \mathbb{C} \setminus \mathbb{R}$  точное решение  $Y(x)$ , определенное на  $(0, +\infty)$ , имеет вид

$$|Y(x)| = C_1 x^{-2/m}, \quad \arg Y(x) = C_2 \ln x$$

с постоянными

$$C_1 = m \sqrt{Q \left( \frac{1 + 4/m}{\operatorname{Im} p_0} \right)^2},$$

$$C_2 = -Q \frac{1 + 4/m}{\operatorname{Im} p_0},$$

$$Q = \frac{-\operatorname{Re} p_0 + \sqrt{(\operatorname{Re} p_0)^2 + \frac{8(m+2)}{(m+4)^2} (\operatorname{Im} p_0)^2}}{2}.$$

Оказывается, что все решения уравнения (1) за исключением тривиального  $y \equiv 0$  имеют такую же асимптотику, как  $Y(x)$ .

Таким образом, доказана Теорема 1 (см. также рис. 4).

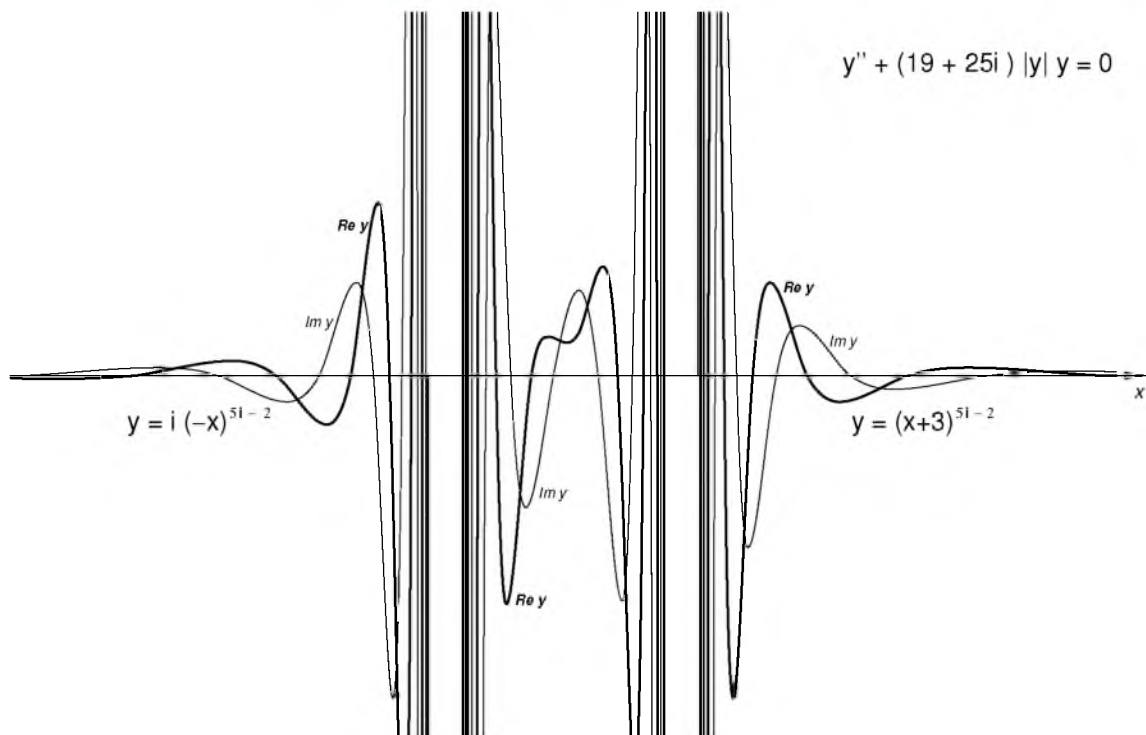


Рис. 4.

3.5. Случай непостоянной  $p(x)$ . Рассмотрим теперь случай, когда  $p$  зависит от  $x$ . Нетривиальные решения уравнения (1) по-прежнему порождают кривые на  $\Phi$ , однако эти кривые не являются траекториями общей динамической системы. В первой карте кривые описываются уравнением

$$\dot{u} = \tilde{p}(t) - (\mu + 1)u^2 - \mu|u|^2$$

с различными функциями  $\tilde{p}(t)$  для разных  $y(x)$ . Однако, некоторые свойства  $p(x)$  наследуются  $\tilde{p}(t)$ , что помогает исследовать асимптотическое поведение траекторий на  $\Phi$  и решений (1).

Пусть  $y(x)$  – непродолжаемое решение уравнения (1), определенное на интервале  $(x_1, x_2)$  (возможно, неограниченном). Поскольку уравнение не изменяется при преобразовании  $x \mapsto -x$ , достаточно исследовать поведение решения  $y(x)$  только вблизи  $x_2$ . Пусть  $p(x) \rightarrow p_0$  при  $x \rightarrow x_2$  (этот предел автоматически существует при  $x_2 < +\infty$ ). Рассмотрим кривую, порождаемую  $y(x)$  на  $\Phi$  и преобразуем  $\Phi$  (как и в случае  $p(x) \equiv p_0$ ) таким образом, чтобы точка  $u_0 = v_0 + w_0i$ , определяемая (2), перешла в  $i$ .

Преобразованная кривая не является траекторией (5). Но вне сколь угодно малых окрестностей точек  $\pm i$  при  $\tilde{p}(t)$  близких к  $p_0$  с учетом непрерывности эта кривая пересекает овалы описанные для  $u_0 = i$  в том же порядке, что и траектории (5). Таким образом, единственной возможной причиной для кривой не стремиться к  $\pm i$  (или к  $\pm u_0$



перед преобразованием  $\Phi$ ) является ограниченность  $t$  и  $\tau$  при  $x \rightarrow x_2$ . Докажем, что этого не может быть.

Пусть  $x_2 < +\infty$ . Тогда, в силу непродолжаемости, хотя бы одна из функций  $y(x)$  или  $y'(x)$  должна быть неограниченной. Но это невозможно если  $t$  ограничено:

$$\begin{aligned} & \left| \frac{d}{dt} \ln (|y'|^2 + |y|^{4\mu+2}) \right| \\ & \leq \frac{dx}{dt} \cdot \frac{2|y'| |y''| + (4\mu + 2) |y|^{4\mu+1} |y'|}{|y'|^2 + |y|^{4\mu+2}} \\ & \leq \frac{2|y'| |y|^{4\mu+1} (\sup |p(x)| + 2\mu + 1)}{|y|^{2\mu} (|y'|^2 + |y|^{4\mu+2})} \\ & \leq \frac{2|y'| |y|^{2\mu+1} (\sup |p(x)| + 2\mu + 1)}{|y'|^2 + |y|^{4\mu+2}} \\ & \leq \sup |p(x)| + 2\mu + 1. \end{aligned}$$

Докажем, что случай  $x_2 = +\infty$  также невозможен. Пусть  $s \in \Phi$  – предел траектории при  $x \rightarrow +\infty$ . Рассмотрим произвольное решение уравнения (1) с  $p(x) \equiv p_0$  и начальными условиями  $(y_3, y'_3)$  при  $x_3 \in (x_1, x_2)$  порождающим  $s$ . Поскольку  $s \neq \pm u_0$ , существует  $x_4 > x_3$  такое, что  $(y(x_4), y'(x_4))$  порождает другую точку в  $\Phi$ . Так как окрестность  $V$  точки  $s$  может быть выбрана так, что для любого решения (1) с  $p(x)$  достаточно близкой к  $p_0$  и начальными данными достаточно близкими к  $(y_3, y'_3)$  соответствующая кривая в  $\Phi$  будет покидать  $V$  перед  $x = x_4$ . Из этого множества решений, используя подстановку  $z(x) = A y (|A|^{2\mu} (x - x'))$ , можно получить любое решение (1) с  $p(x)$  достаточно близкой к  $p_0$  и начальными данными (для всех  $x$ ) порождающими точку в  $\Phi$ , достаточно близкую к  $s$ . Следовательно, любая кривая в  $\Phi$ , порождаемая решением (1) и определенная в окрестности  $+\infty$  не может иметь предела, отличного от  $\pm u_0$ . Это доказывает Теорему 2 и Теорему 3.

### 3.6. Оценки. Докажем Теорему 4.

Рассмотрим вещественнозначную непрерывную функцию, связанную с решением соотношением

$$V(x) = 2|y(x)'| |y(x)|^{-2\mu-1}$$

и определенную на максимальном интервале  $(x_0 - \delta_*, x_0 + \delta^*)$ , где определено и отлично от нуля  $y(x)$ .

Воспользовавшись очевидным соотношением

$$2|y'| = (|y|^2)' |y|^{-1} = (y' \bar{y} + y \bar{y}') |y|^{-1},$$

можно представить функцию  $V(x)$  в виде

$$V(x) = (y' \bar{y} + y \bar{y}') |y|^{-2\mu-2}.$$



Дифференцируя это соотношение, получаем

$$\begin{aligned} V'(x) &= \\ &= 2|y|^{2\mu} \operatorname{Re} p(x) + 2|y'|^2 |y|^{-2\mu-2} - \\ &- (\mu + 1)V(x)^2 |y|^{2\mu} > \\ &> |y|^{2\mu} (2p_* - (\mu + 1)V(x)^2). \end{aligned}$$

Вначале рассмотрим случай  $V(x_0) \geq 0$ . В этом случае, поскольку  $V'|_{V=0} > 0$ , функция  $V(x)$  остается положительной для всех  $x \in (x_0, x_0 + \delta^*)$ . Из определения  $V$  следует, что  $|y(x)|$  возрастает на этом интервале. Следовательно,  $|y(x)| > |y(x_0)| \neq 0$  для  $x \in (x_0, x_0 + \delta^*)$  и функция  $V(x)$  определена для всех  $x \in (x_0, x_0 + \varepsilon)$ .

Обозначим  $\sqrt{p_*/(\mu + 1)}$  через  $V_*$ . Предположим, что  $V(x_0) \in [0, V_*]$ . Пока  $V(x)$  остается на этом отрезке, для  $x > x_0$  выполняется:

$$\begin{aligned} V'(x) &> |y|^{2\mu} (2p_* - (\mu + 1)V_*^2) = \\ &= |y|^{2\mu} p_* > |y(x_0)|^{2\mu} p_*. \end{aligned}$$

Следовательно,  $V(x_1)$  становится равной  $V_*$  для некоторых  $x_1 \in (x_0, x_0 + \varepsilon)$  таких что

$$x_1 - x_0 < \frac{V_*}{|y(x_0)|^{2\mu} p_*} = \frac{|y(x_0)|^{-2\mu}}{(\mu + 1)V_*}. \quad (6)$$

и поэтому  $|y(x_1)| > |y(x_0)|$ .

Теперь предположим, что  $V(x_0) \geq V_*$ . Поскольку  $V'|_{V=V_*} > |y(x_0)|^{2\mu} p_* > 0$ , неравенство  $V(x) > V_*$  остается справедливым  $x \in (x_0, x_0 + \varepsilon)$ . Поэтому для таких  $x$  получаем

$$(|y|^{-2\mu})' = -\mu V < -\mu V_*$$

и следовательно  $|y(x)|^{-2\mu} < |y(x_0)|^{-2\mu} - \mu V_*(x - x_0)$ . Таким образом,

$$x - x_0 < \frac{|y(x_0)|^{-2\mu}}{\mu V_*}. \quad (7)$$

Оценки (6) и (7) показывают что ни одна из функций  $V(x)$  и  $y(x)$  не может быть определена при  $x > x_0 + \varepsilon$  для

$$\varepsilon^2 \geq \frac{|y(x_0)|^{-4\mu}}{V_*^2} \left( \frac{1}{\mu + 1} + \frac{1}{\mu} \right)^2 = \frac{16(m + 2)^2}{m^2(m + 4)p_*} |y(x_0)|^{-m}. \quad (8)$$

Случай  $V(x_0) < 0$  исследуется аналогичным образом, но левее  $x_0$ . А именно, для отрицательной  $V(x_0)$  ни одна из функций  $V(x)$  и  $y(x)$  не может быть определена при  $x > x_0 + \varepsilon$  для  $\varepsilon$ , удовлетворяющих (8). Это завершает доказательство.



Из доказанной теоремы немедленно вытекают все четыре следствия.

**Замечание.** Результаты об асимптотическом поведении решений уравнения с действительными коэффициентами содержатся в [11] (см. также библиографию), об асимптотическом поведении решений уравнения (1) с постоянным комплексным коэффициентом содержатся в [12], [13], о равномерных оценках положительных решений уравнений с действительными коэффициентами – в [14], некоторые результаты об оценках решений для уравнения (1) были опубликованы в [15], см. также [16].

### Литература

1. Кигурадзе И.Т., Чантурия Т.А. Асимптотические свойства решений неавтономных обыкновенных дифференциальных уравнений // М.: Наука, 1990. – 432 с.
2. Bidaut-Véron M.F. Local and global behaviour of solutions of quasilinear elliptic equations of Emden-Fowler type // Arch. Rat. Mech. Anal. – 1989. – 107. – P.293-324.
3. Brezis H., Kato T. Remarks on the Schrödinger operator with singular complex potential // J.Math. pures et appl. – 1979. – 58. – P.137-151.
4. Constantin P. Decay estimates of Schrödinger equations // Commun. Math. Phys. – 1990. – 127. – P.101-108.
5. Doi S. On the Cauchy problem for Schrödinger type equations and the regularity of solutions // J. Math. Kyoto Univ. – 1994. – 34. – P.319-328.
6. Guerch B., Véron L. Local properties of stationary solutions of some nonlinear singular Schrödinger equation // Rev. Mat. Iberoamericana. – 1991. – 7. – P.65-114.
7. Hayashi N. Global existence of small solutions to quadratic nonlinear Schrödinger equations // Comm. P.D.E.. – 1993. – 18. – P.1109-1124.
8. Kato T. Schrödinger operators with singular potentials // Israël J. Math. – 1972. – 13. – P.135-148.
9. Kato T. On some Schrödinger operators with a singular complex potential // Ann. Sc. Norm. Sup. Pisa, Ser. IV. – 1978. – 5. – P.105-114.
10. Kondrat'ev V., Shubin M. Discreteness of spectrum for the Schrödinger operators on manifolds of bounded geometry / Operator Theory: Advances and Applications, Vol. 110 / Birkhäuser Verlag: Basel/Switzerland, 1999.
11. Астапова И. В. Применение динамических систем к исследованию асимптотических свойств решений нелинейных дифференциальных уравнений высоких порядков // Современная математика и ее приложения. – 2003. – 8. – С.3-33.
12. Астапова И. В. Об асимптотическом поведении решений уравнения типа Эмдена-Фаулера с комплексным коэффициентом // Современная математика и ее приложения. – 2005. – 29. – С.14-18.
13. Astashova I.V. On asymptotic properties of the one-dimensional Schrödinger equation / Operator Theory: Advances and Applications, Vol. 114 / Birkhäuser Verlag: Basel/Switzerland, 2000. – P.15-19.
14. Астапова И.В. Равномерные оценки положительных решений квазилинейных дифференциальных уравнений // Известия РАН. – 2008. – 72;6. – С.103-124.

15. Astashova I.V. Estimates of Solutions to One-dimensional Schrödinger Equation / World Scientific: Progress in Analysis, v. II / Proceedings of the 3rd International ISAAC Congress. – Singapore, 2003. – P.955-960.
16. Асташова И.В. Качественные свойства решений квазилинейных обыкновенных дифференциальных уравнений / М: МЭСИ, 2010. – 242 с. (ISBN 978-5-7764-0647-8)

## ON ASYMPTOTIC BEHAVIOR OF SOLUTIONS TO NONLINEAR EQUATIONS WITH COMPLEX COEFFICIENTS

I.V. Astashova

Moscow Lomonosov State University,  
Leninskie gory, GSP-1, Moscow, 119991, Russia, e-mail: [ast@diffiety.ac.ru](mailto:ast@diffiety.ac.ru)

**Abstract.** Asymptotic formulas for modulus and argument of solutions and uniform estimates of solutions are obtained to nonlinear differential equations of Emden-Fowler's type with complex coefficients.

**Key words:** asymptotic behavior, uniform estimates of solutions, complex coefficients.